

Bildverarbeitung
20.4.10

Die Fourier-Matrix und ihre magisch-mystischen Eigenschaften

Letzer Mat:

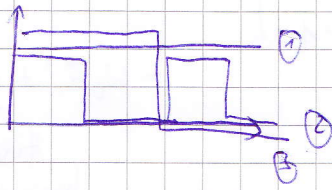
Hadamard-Transformation

$$H_N = \begin{pmatrix} H_{N/2} & H_{N/2} \\ H_{N/2} & -H_{N/2} \end{pmatrix}$$

$$H_4 = \begin{pmatrix} 1 & 1 & 1 & 1 \\ 1 & -1 & 1 & -1 \\ 1 & 1 & -1 & -1 \\ 1 & -1 & -1 & 1 \end{pmatrix} \begin{matrix} \text{Basis-} \\ \text{funktionen} \end{matrix}$$

2. Vorlesung

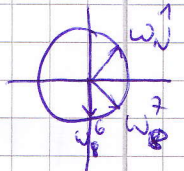
$$H B H \vec{f}$$



Fourier-Transformation

$$F B F = Y \quad F_N = [w_n^{ij}]$$

Einheitswurzel
 $\sqrt[n]{1} = x \Leftrightarrow x^n = 1$



Konvolutions-
theorem

F_N hat selb interessante Eigenschaften und Symmetrien.

Circular shifts
symmetrisch $F^T = F$
conjugate flip

chuffe
symmetrie

FFT

1. F_N ist symmetrisch

$$F_N = [w_N^{ij}] = [w_N^{ji}]$$

2. conjugate flip

$$\vec{x} \in \mathbb{R}^N$$

$$F_N \vec{x} = \vec{F} = \begin{pmatrix} f_0 \\ f_1 \\ \vdots \\ f_{N-1} \end{pmatrix}$$

Exponenten	0	0	0	0
→	0	1	2	3
	0	2	4	6
[0	3	6	
	⋮			
conjugiert	0	(n-2)	2(n-2)	3(n-2) ..
	0	(n-1)	2(n-1)	3(n-1) ..

Wir können uns also die Hälfte der Berechnungen sparen, da der zweite Teil einfach nur konjugiert ist.

Kosinus-Transformation

$$x = \begin{pmatrix} x_0 \\ \vdots \\ x_{N-1} \end{pmatrix} \xrightarrow{1} x' = \begin{pmatrix} x_0 \\ \vdots \\ x_{N-1} \\ x_N \end{pmatrix} \xrightarrow{2} F_{2N-1} x' = \begin{pmatrix} w_0 \\ w_1 \\ \vdots \\ w_{N-1} \\ w_N \end{pmatrix} x'$$

$$= w_0 x' + (w_1 + w_1^*) x' + (w_2 + w_2^*) x' + \dots$$

Hier fällt überall der Imaginärteil weg! übrig bleibt quasi nur 2 mal der Realteil. In Sinus-Kosinus-Scheidungsform der komplexen Zahlen bleibt also nur Kosinus übrig.

$$F F^{-1} = I$$

$$F F^* \stackrel{?}{=} I$$

$$= \begin{pmatrix} w_1 \\ w_2 \\ \vdots \\ w_{N-1} \end{pmatrix} (w_1^* \ w_2^* \ \dots \ w_{N-1}^*) = \frac{1}{N} \begin{pmatrix} N & 0 & 0 \\ 0 & N & 0 \\ 0 & 0 & N \\ \vdots & \vdots & \vdots \\ 0 & 0 & N \end{pmatrix}$$

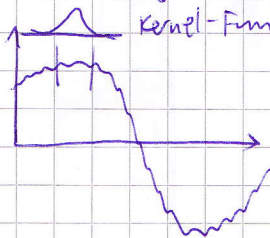
~~statische Symmetrie~~

circular shift

$$F_4 \cdot \begin{pmatrix} w_0 & & & \\ & w_1 & & \\ & & w_2 & \\ & & & w_3 \end{pmatrix} = \begin{pmatrix} w_0 & w_0 & w_0 & w_0 \\ w_1 & w_2 & w_3 & w_0 \\ w_2 & w_3 & w_0 & w_1 \\ w_3 & w_0 & w_1 & w_2 \end{pmatrix}$$

Konvolutions-Theorem

(Falten, Filtern)



wichtig für
 • weicheichen
 • kantenerkennung

$$F(\vec{h} * \vec{b}) = \begin{bmatrix} F(w_0) & F(w_1) \\ F(w_2) & F(w_3) \\ \vdots & \vdots \end{bmatrix} \vec{b} = \begin{bmatrix} w_0 \otimes F\vec{h} & w_1 \otimes F\vec{h} \\ \vdots & \vdots \end{bmatrix} \cdot \vec{b}$$

↑
Punktweise Multiplikation

22.4.10

$$F\vec{h} \otimes \begin{bmatrix} w_0 & w_1 & w_2 & \dots \\ \vdots & \vdots & \vdots & \vdots \end{bmatrix} \cdot \vec{b} = F\vec{h} \otimes F\vec{b}$$

Konvolutionsatz: $F(\vec{b} * \vec{h}) = F(\vec{b}) \otimes F(\vec{h})$

kernel

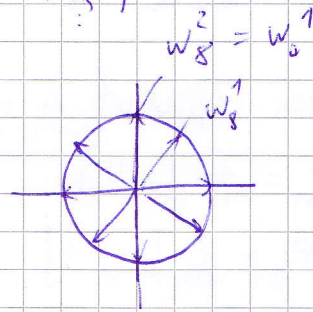
FFT

$$F = \begin{pmatrix} w_0 & w_2 & w_4 & \dots & w_1 & w_3 & w_5 & \dots \\ \vdots & \vdots \end{pmatrix}$$

$$\begin{pmatrix} x_0 \\ x_2 \\ x_4 \\ \vdots \\ x_1 \\ x_3 \\ x_5 \\ \vdots \end{pmatrix}$$

Trennung nach geraden und ungeraden Spalten

$$F = \begin{pmatrix} w_0 & w_2 & w_4 & \dots & w_1 & w_3 & w_5 & \dots \\ w_1 & w_3 & w_5 & \dots & w_0 & w_2 & w_4 & \dots \\ w_2 & w_4 & w_6 & \dots & w_3 & w_5 & w_7 & \dots \\ \vdots & \vdots \\ w_{n-2} & w_{n-4} & w_{n-6} & \dots & w_{n-1} & w_{n-3} & w_{n-5} & \dots \\ w_{n-1} & w_{n-3} & w_{n-5} & \dots & w_{n-2} & w_{n-4} & w_{n-6} & \dots \end{pmatrix}$$



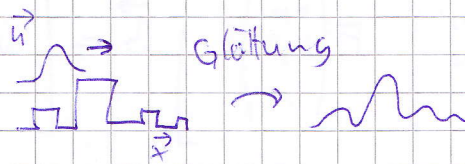
$$= \begin{pmatrix} F_{n/2} & w_1 \otimes F_{n/2} \\ F_{n/2} & -w_1 \otimes F_{n/2} \end{pmatrix}$$

Den Prozess kann man rekursiv anwenden bis F_2 (unser hier nicht gegeben) oder $F_2 = \begin{pmatrix} 1 & 1 \\ 1 & -1 \end{pmatrix}$

Die Summe des Filterkerns muss 1 sein, z.B. können wir Gauss nehmen

Konvolution

$$\vec{h} \otimes \vec{x}$$



Bildverarbeitung

3. Vorlesung

ZfK 1p

$$F_n(\vec{h} \otimes \vec{x}) = F_n \vec{h} \cdot F_n \vec{x}$$

Komponentenweise

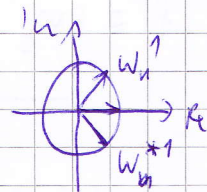
$$F^*(F\vec{h} \cdot F\vec{x}) = F^*(F(\vec{h} \otimes \vec{x})) = \vec{h} \otimes \vec{x}$$

Für die Konvolution direkt braucht man $O(n^2)$, mit dem Umweg über Fourier (über FFT), dann nur $O(n \log n)$.

Für kleine Kernel lohnt es sich allerdings nicht.

$$F_n = [w_n^{ij}] \text{ mit } i=0, \dots, n-1, j=0, \dots, n-1$$

$$F_n^{-1} = \frac{1}{n} [w_n^{*ij}] \text{ (asymmetrisch)}$$



oder man definiert es symmetrisch:

$$F_n = \frac{1}{\sqrt{n}} [w_n^{ij}], \quad F_n^{-1} = \frac{1}{\sqrt{n}} [w_n^{*ij}]$$

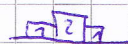
$$\text{oder } F_n = \frac{1}{\sqrt{n}} [w_n^{*ij}], \quad F_n^{-1} = \frac{1}{\sqrt{n}} [w_n^{ij}]$$

Filter

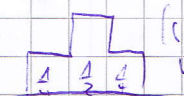
Dreieck-Filter



z.B.

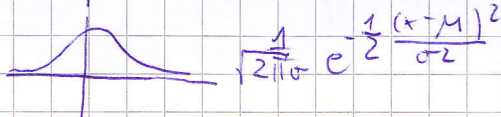


oder

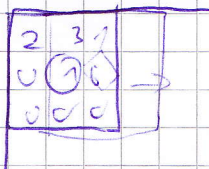


(so kann die mittlere Helligkeit des Bildes erhalten)

Gauß-Filter



Jetzt 2D-Kernel



Uniforme Glättung "Ablösung" Sobel \rightarrow für Kantenerkennung



$$G_y = \begin{pmatrix} -1 & -2 & -1 \\ 0 & 0 & 0 \\ 1 & 2 & 1 \end{pmatrix}$$

vertikale Ableitung

$$G_x = \begin{pmatrix} 1 & 0 & -1 \\ 2 & 0 & -2 \\ 1 & 0 & -1 \end{pmatrix}$$

horizontale Ableitung

Laplace auch für Kanten

$$\begin{pmatrix} 1 & 1 & 1 \\ 1 & -8 & 1 \\ 1 & 1 & 1 \end{pmatrix}$$

Konvolutionsatz für 2D

K Kernel, B Bild beide sind gleich groß $n \times n$.

$$F(K \otimes B) F$$

$$F \begin{pmatrix} K_0 \otimes B_0 & K_0 \otimes B_1 & K_0 \otimes B_2 & K_0 \otimes B_3 & \dots & K_0 \otimes B_m \\ K_1 \otimes B_0 & & & & & \\ K_2 \otimes B_0 & & & & & \\ \vdots & & & & & \\ K_m \otimes B_0 & & & & & \end{pmatrix} F$$

mit K_i heißt Kernel um i Positionen nach unten verschoben und B_j heißt Bild um j Positionen nach rechts verschoben

\otimes ist die Operation komponentenweise multiplizieren und dann alles Addieren.

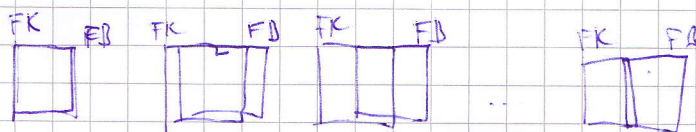
Der Aufwand so ist $O(n^4)$.

$$F \begin{pmatrix} \square \\ \square \\ \square \\ \vdots \\ \square \end{pmatrix} = F \begin{pmatrix} K_{00} \cdot B_{00} + K_{01} \cdot B_{01} + \dots \\ K_{10} \cdot B_{00} + K_{11} \cdot B_{01} \\ K_{20} \cdot B_{00} + \dots \\ \vdots \\ K_{m0} \cdot B_{00} + \dots \end{pmatrix} \begin{matrix} \text{komponentenweise Multiplikation} \\ \text{und} \\ \text{Addition} \\ \downarrow \\ = [FK_0 * FB_{00} + FK_{01} * FB_{01} + \dots] \\ = FK * FB \mathbb{1}_n \end{matrix}$$

1 dimensionale Konvolution

$$F(K \otimes B) F = [FK * FB \mathbb{1} \mid FK * FB \mathbb{1}' \mid \dots] F$$

1 dimensionale Konvolution



$$= (FKF) * (FBF) \leftarrow \text{hier ist man noch im Frequenzraum}$$

$$K \otimes B = F^* (FKF) * (FBF) F^*$$

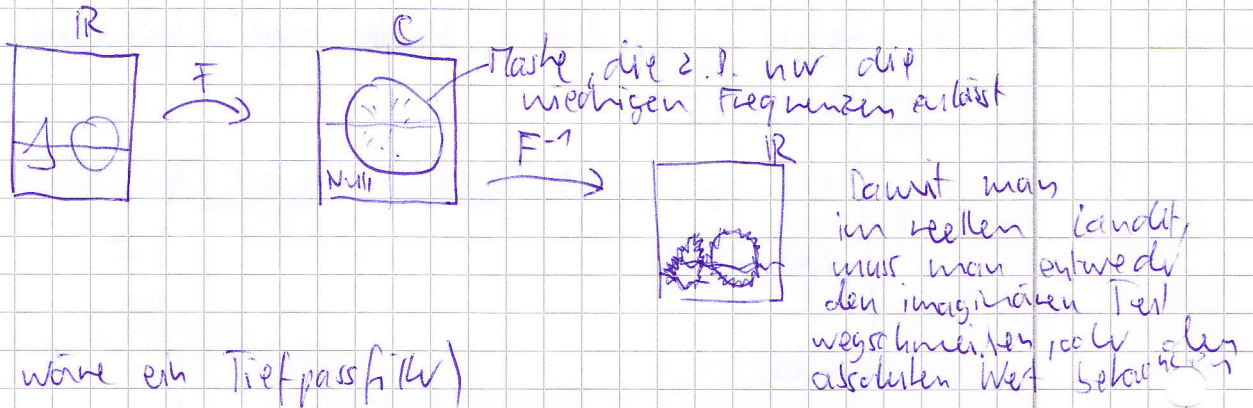
Hier ist der Aufwand $O(n^2)$, also enorm gespart.

Man kann das auch auf 1D erweitern...

$$F(K_{3D} \otimes B_{3D})F = FK_{3D}F \cdot FB_{3D}F$$

Anwendung:

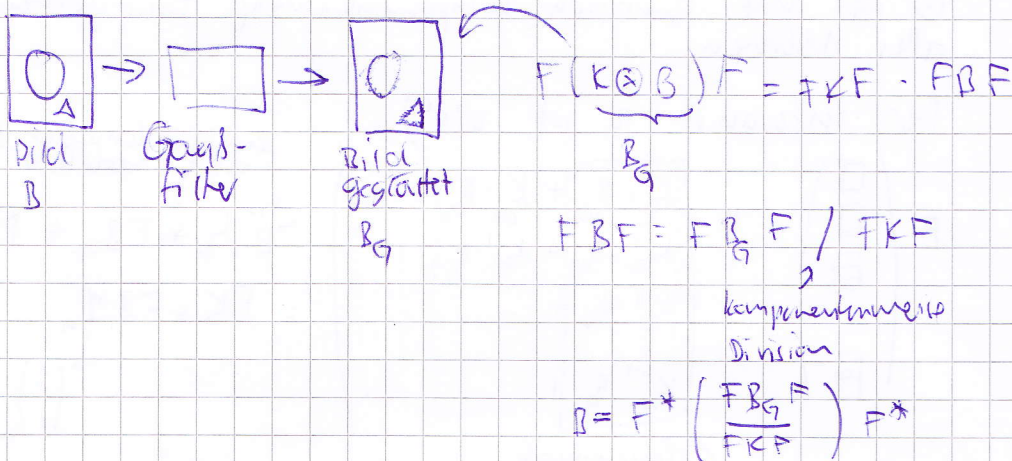
- 1) Filtering im Frequenzraum (k gegeben)
- 2) Filtering im Frequenzraum (ohne k gegeben)



(Das wäre ein Tiefpassfilter)

Der Hochpassfilter wäre die Maske invertiert. So kann man dann natürlich seltsige Frequenzfilter machen.

3) Deconvolution



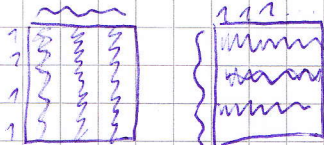
Dazu muss man natürlich den Kernel kennen.

Man kann auch blinde Deconvolution machen, wo man aus dem geglätteten Bild versucht auf den Kernel zu schließen.

dreier-
ung

Wir wollen Muster suchen.

Einfache Muster sind

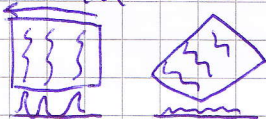


vorlesung

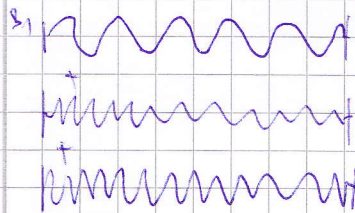
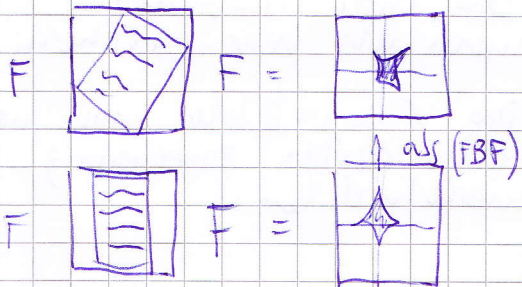
5.2010

Wir wollen z.B. die Drehung einer Schriftdokumente beim Scannen wissen.

Ein Simpler Ansatz wäre ein Histogramm über die "Tinten"-Pixel in den Spalten zu machen.

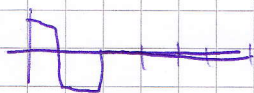


Bei rechteckigen Dokumenten muss man das Koordinatensystem drehen und mehrere Histogramme erstellen.



FT = Energie nicht lokalisiert

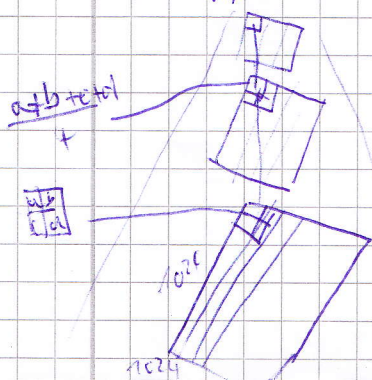
Lokale Basis



Wavelet

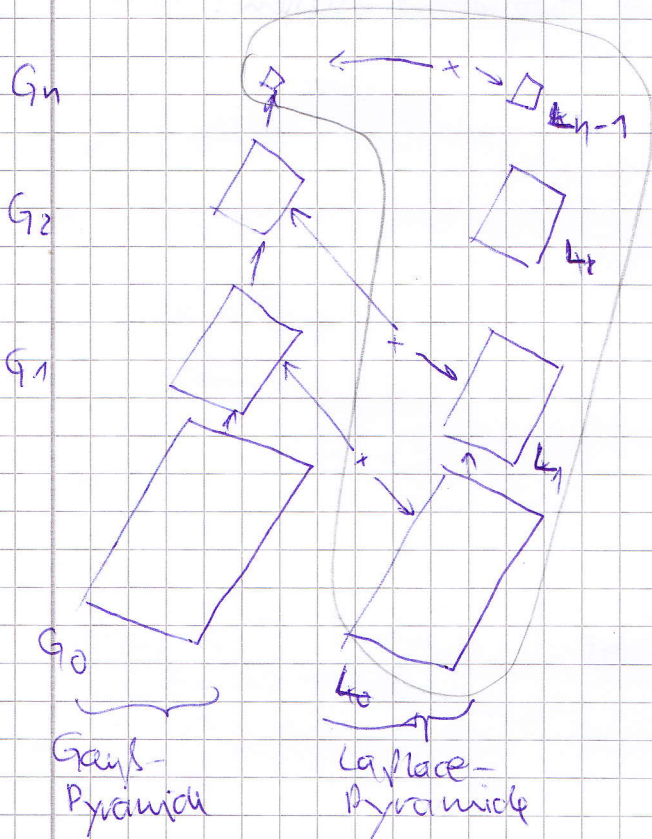
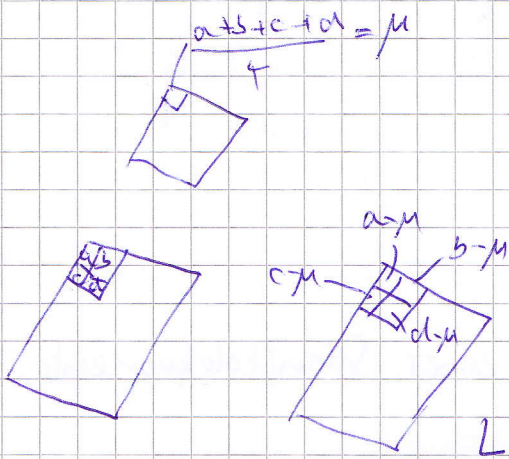


Bildpyramiden



Mittelung nach oben, das nennt man auch Gauß-Pyramiden.

Das ist rekursschaffend.



59	43	11	27	95	45	37	13
51	19	45	25	8	-8	0	12
35	35	16	10	8	-8	0	12
35	0	16	10	8	-8	0	12

$\frac{a+b}{2}$ $\frac{a-b}{2}$

Wavelet-Transformation ①

35	0	16	10	8	-8	0	12
35	35	16	10	8	-8	0	12
51	19	45	25	8	-8	0	11
59	43	11	27	45	45	36	14

Rücktransformation
zum Bild

Das oberste Bild ist kleiner (da Klippse fehlen) und speichert den Kontrast.

Zudem ist die Transformation linear (da man nur Addition, Subtraktion und Multiplikation verwendet).

Es gibt also auf jedenfall eine Matrix, die die Transformation macht.

$$\vec{w} = W \vec{x}$$

Wie findet man nun W und die Inverse W^{-1} ?

$$W = [\vec{w}_0 \quad \vec{w}_1 \quad \dots \quad \vec{w}_{n-1}]$$

$$\vec{x} = W^{-1} \begin{pmatrix} w \\ \vdots \\ w \end{pmatrix}$$

wir kennen allerdings W^{-1} nicht, aber eine andere Methode um von \vec{w} zu \vec{x} zu kommen.

1	0	0	0	0	0	0	0
1	1	0	0	0	0	0	0
1	1	1	1	0	0	0	0
1	1	1	1	1	1	1	1

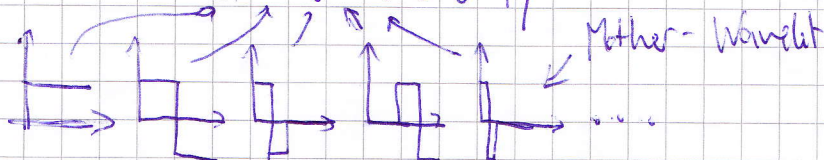
$$W^{-1} \begin{pmatrix} w \\ \vdots \\ w \end{pmatrix}$$

0	1	0	0	0	0	0	0
1	-1	0	0	0	0	0	0
1	1	-1	-1	0	0	0	0
1	1	1	1	-1	-1	-1	-1

1. Spalte \rightarrow
der Matrix

2. Spalte \rightarrow
der Matrix

$$W^{-1} = \begin{pmatrix} 1 & 1 & 1 & 0 & 1 & 0 & 0 & 0 \\ 1 & 1 & 1 & 0 & -1 & 0 & 0 & 0 \\ 1 & 1 & -1 & 0 & 0 & 1 & 0 & 0 \\ 1 & 1 & -1 & 0 & 0 & -1 & 0 & 0 \\ 1 & -1 & 0 & 1 & 0 & 0 & 1 & 0 \\ 1 & -1 & 0 & 1 & 0 & 0 & -1 & 0 \\ 1 & -1 & 0 & -1 & 0 & 0 & 0 & 1 \\ 1 & -1 & 0 & -1 & 0 & 0 & 0 & -1 \end{pmatrix}$$



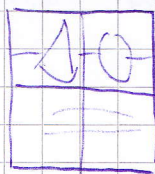
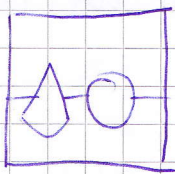
$$W = \begin{pmatrix} 1/8 & 1/8 & 1/8 & 1/8 & 1/8 & 1/8 & 1/8 & 1/8 \\ 1/8 & 1/8 & 1/8 & 1/8 & -1/8 & -1/8 & -1/8 & -1/8 \\ -1/4 & 1/4 & -1/4 & -1/4 & 0 & 0 & 0 & 0 \\ 0 & 0 & 0 & 0 & 1/4 & 1/4 & -1/4 & -1/4 \\ 1/2 & -1/2 & 0 & 0 & 0 & 0 & 0 & 0 \\ 0 & 0 & 1/2 & -1/2 & 0 & 0 & 0 & 0 \\ 0 & 0 & 0 & 0 & 1/2 & -1/2 & 0 & 0 \\ 0 & 0 & 0 & 0 & 0 & 0 & 1/2 & -1/2 \end{pmatrix}$$

Dieses spezielle Wavelet nennt man auch Haar-Transformation

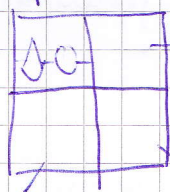
Anwendung

Man kann das jetzt auch wieder 2D machen

$W B W^T$



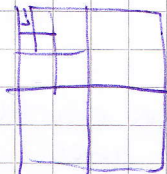
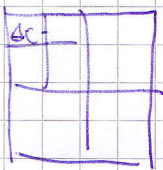
Mittlung d. Mittlung



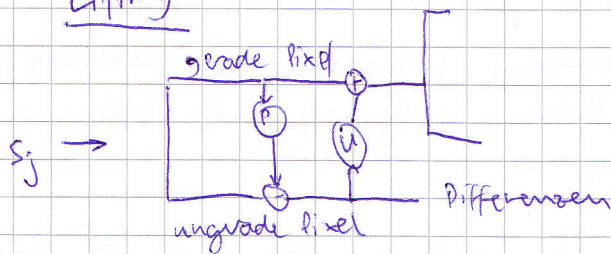
Differenzen d. Mittlung

Differenzen d. ~~Mittlung~~
Differenzen

Mittelungen
d. Differenzen



Hier könnte ich jetzt Thresholding machen (z.B. kleine Werte auf 0 setzen) um damit Kompression zu machen.



P = Prediction - Funktionen

U = Update - Funktionen

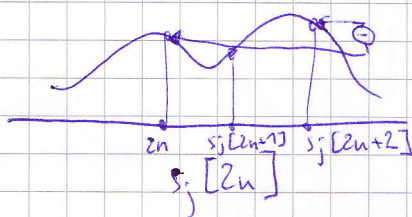
Invo

$$\begin{cases} s_j[2n] = s_{j-1}[n] - \frac{1}{4} (d_{j-1}[n-1] + d_{j-1}[n]) \\ s_j[2n+1] = d_{j-1}[n] + \frac{1}{2} (s_j[2n] + s_j[2n+2]) \end{cases}$$

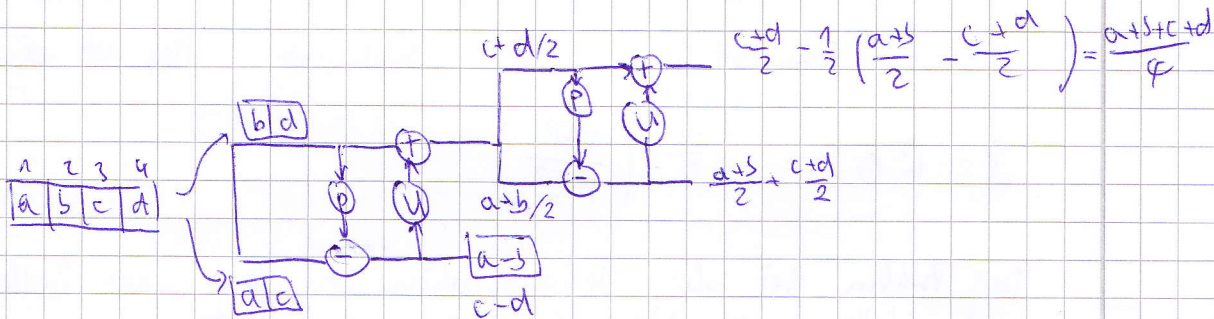
Transformation

$$\begin{cases} d_{j-1}[n] = s_j[2n+1] - \frac{1}{2} (s_j[2n] + s_j[2n+2]) \\ s_{j-1}[n] = s_j[2n] + \frac{1}{4} (d_{j-1}[n-1] + d_{j-1}[n]) \end{cases}$$

Der Index j gibt jeweils die Ebene an, auf der wir arbeiten. Bei 1024 Pixel würde man bei Ebene 10 anfangen ($2^{10} = 1024$).



CDF-Wavelet (CDF(2,2))



Für

$$d_{j-1}[n] = s_j[2n+1] - s_j[2n]$$

$$s_{j-1}[n] = s_j[2n] + \frac{1}{2} d_{j-1}[n]$$

Haar-Wavelet (mit Update)

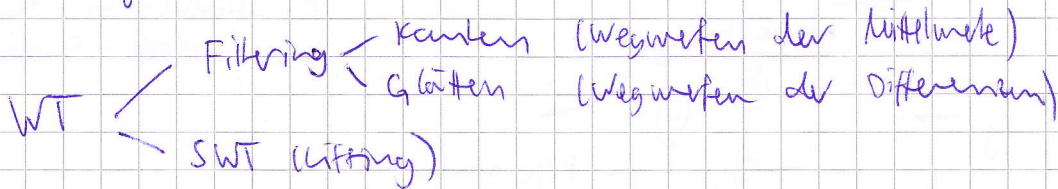
Alle Wavelet-Transformationen die in diesem Lifting-Schema passen, sind schnell berechenbar, da sich das Bild ja in jeder Stufe halbiert.

CDF(2,4):

$$s_{j+1}[n] = s_j[2n] - \frac{1}{64} (3d_{j-1}[n-2] - 19d_{j-1}[n-1] - 19d_{j-1}[n] + 3d_{j-1}[n+1])$$

$$d_{j-1}[n] = s_j[2n+1] - \frac{1}{2} (s_j[2n] + s_j[2n+2])$$

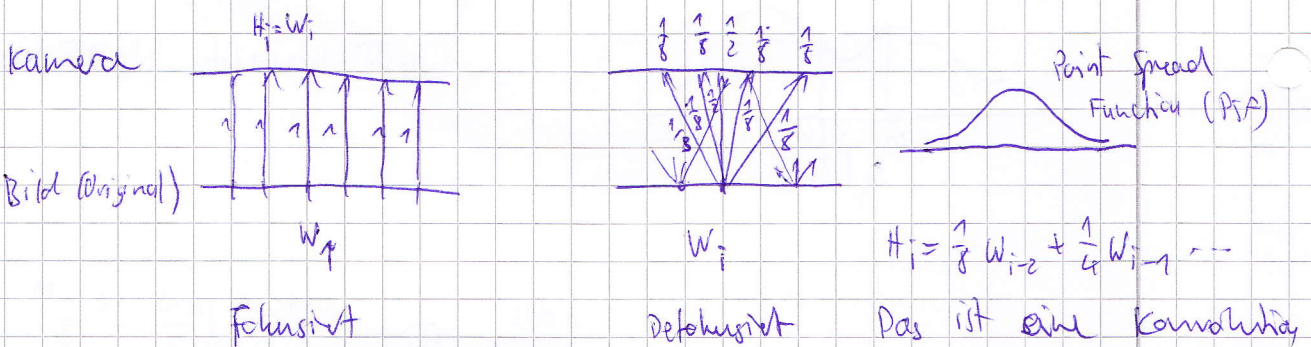
Anwendungen der Wavelet-Transformation



Gehen auch Konvolutionen wie mit Fourier?
Nein!

JPEG benutzt zur Kompression Fourier, JPEG 2000 benutzt dazu wavelets.

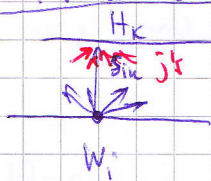
Konvolution / Dekonvolution



$$\vec{D} = \vec{B} \otimes \vec{F} \quad \vec{F}^{-1} \left(\frac{F \vec{D}}{F \vec{B}} \right)$$

Das Problem bei der Dekonvolution ist, dass man Probleme mit Nullen im Nenner bekommen kann.

Lucy-Richardson



Helligkeit $[0..1]$

$\sum W_i = W$ (Summe aller Helligkeiten soll erhalten bleiben)

$$P(W_i | H_k) = \frac{P(H_k | W_i) \cdot P(W_i)}{\sum_j P(H_k | W_j) \cdot P(W_j)} \quad \text{Bayes-Formel}$$

$$P(H_k | W_i) = S_{i,k} \quad (\text{Verbindungsstärke})$$

Im Zähler steht also das Licht von i nach k
im Nenner steht dann das Licht, das von allen Pixeln auf H_k strahlt.

$P(W_i | H_k)$ ist also der Anteil von W_i an der Helligkeit von H_k (prozentual).

$P(W_i)$ möchten wir nun bestimmen.

$$P(W_i) = \sum_k \left(\frac{P(H_k | W_i) \cdot P(W_i)}{\sum_j P(H_k | W_j) \cdot P(W_j)} \cdot P(H_k) \right)$$

alle von
 i bestanden
Prize

Das Problem ist, dass das Gesuchte $P(W_i)$ auch auf der rechten Seite auftaucht...

Wir machen nun ein iteratives Verfahren daraus (EM-Algorithmus):

$$P(W_i, r) = P(W_i, r-1) \cdot \sum_k \frac{P(H_k | W_i) \cdot P(H_k)}{\sum_j P(H_k | W_j) \cdot P(W_j)}$$

$r=0, 1, 2, \dots$
Iteration

$$P(W_i, 0) = \frac{W_i}{W}, \quad P(H_k) = \frac{H_k}{W}, \quad P(H_k | W_i) = S_{ik}$$

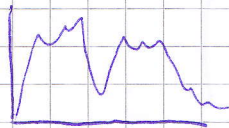
$$\frac{W_{i,r}}{W} = \frac{W_{i,r-1}}{W} \left(\sum_k \frac{S_{ik} \cdot \frac{H_k}{W}}{\sum_j S_{jk} \cdot \frac{W_j}{W}} \right)$$

$$W_{i,r} = W_{i,r-1} \cdot \sum_k \frac{S_{ik} \cdot H_k}{\sum_j S_{jk} \cdot W_j}$$

Das macht man so lange, wie man Lustig ist. Meistens ist die Differenz von $W_{i,r}$ und $W_{i,r-1}$ klein genug ist.

Übersetzung
Vorlesung
5.2.10

Histogramm equalization



Histogramm zeigt uns, wie die Helligkeiten im Bild verteilt sind

Dynamic range

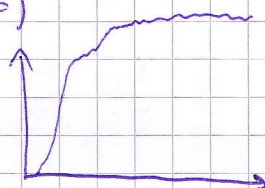
Beispiele:



zu wenig Kontrast

Es geht darum, dass man jetzt versucht wieder den bestmöglichen Kontrast zu bekommen.

Aus dem Histogramm berechnen wir dann die kumulierte Wahrscheinlichkeiten (CDF)



Histogramm

CDF

$$P_x(i) = P(x=i) = \frac{n_i}{n}$$

$$cdf_x(i) = \sum_{j=0}^i P_x(j)$$

Wir suchen eine pixelweise Transformation $T: y = T(x)$ so dass

$cdf_y(i) = ki$, d.h. die Verteilung von y wird linear
 (ausgelassener Beweis)

$$y = T(x) = cdf_x(x)$$

$$y' = y(\max\{x\}, \min\{x\}) + \min\{x\}$$

Beispiel =

52	55	62	...
65			
62			
⋮		154	
⋮			
⋮			

94

Das Histogramm wird

Wert	Anzahl	
52	1	cdf →
55	3	
62	2	
⋮	⋮	
154	1	

52	1
55	4
62	6
⋮	⋮
154	64

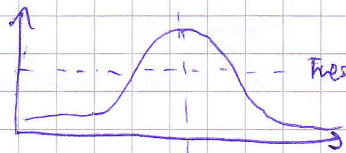
Edge-Detection \rightarrow Search based zero crossing

$$T: \begin{pmatrix} \text{RGB} \\ \text{Gray} \end{pmatrix} \rightarrow \text{Binary}$$

Canny-Edge-Detection (1986)

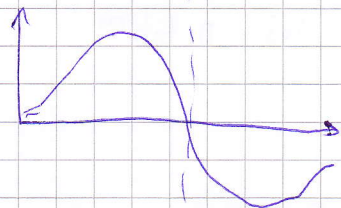


Kante schwer zu lokalisieren



1. Ableitung

Threshold



2. Ableitung

1. good detection

2. good localization

3. minimal response

Bei Canny werden diese drei Eigenschaften erfüllt. Die Schritte sind wie folgt:

1. Noise reduction z.B. durch Gaußfilter

$$\frac{1}{159} \begin{bmatrix} 2 & 4 & 5 & 4 & 2 \\ 4 & 8 & 12 & 9 & 4 \\ 5 & 12 & 15 & 12 & 5 \\ 4 & 9 & 12 & 9 & 4 \\ 2 & 4 & 5 & 4 & 2 \end{bmatrix} \cdot \vec{B}$$

2. Derivation mit Sobel

$$(S_x, S_y) \rightarrow \text{Polar} \left(\sqrt{S_x^2 + S_y^2}, \arctan\left(\frac{S_y}{S_x}\right) \right)$$

3. Non-maxima suppression (directed)



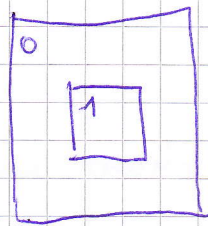
4. Thresholding and tracking

Verwendung von zwei unterschiedlichen Schwellwerten. Zunächst wird mit einem hohen Schwellwert T_H gefiltert, dannach auf T_L , wobei bei T_L man nur die Kanten nimmt, wenn dort in der Nachbarschaft mit T_H was für

Morphology Operatoren

Wir arbeiten auf Binärbildern

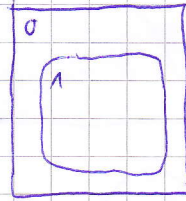
• Dilatation



Bild



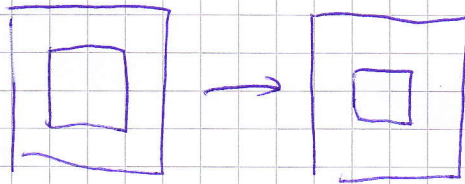
$$A \oplus B = \bigcup_{b \in B} A_b$$



Mit Dilatation kann man Löcher stopfen und Flächen vergrößern

• Erosion Bild und Kernel wie bei Dilatation

$$A \ominus B = \bigcap_{b \in B} A_b$$



Gegenteil von Dilatation

Durch $(A \oplus B) \ominus B \cong A$ kann man z.B. Rauschen entfernen

• Opening

$$A \circ B = (A \oplus B) \ominus B$$

$$(A \circ B) \circ B = A \circ B$$

$$A \circ B \subseteq A$$

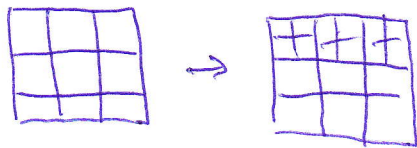
• Closing $(A \oplus B) \ominus B = A \circ B$

$$(A \circ B) \circ B = A \circ B$$

$$A \subseteq A \circ B$$

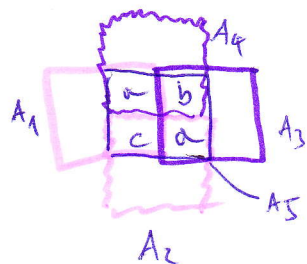
Superresolution

Man möchte bessere Auflösungen erreichen, d.h. ein Originalbild möchte man verfeinern



Mehrere Ansätze:

1) Man benutzt mehrere Bilder



Die Werte für die Pixel abbild sind dann Funktionen aus dem Bildern A_1 bis A_5 .

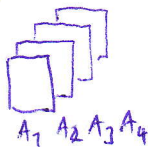
$$a = f(A_1, A_2, A_3, A_4, A_5) = \alpha_1 A_1 + \alpha_2 A_2 + \alpha_3 A_3 + \alpha_4 A_4 + \alpha_5 A_5$$

$$b =$$

$$c =$$

$$d =$$

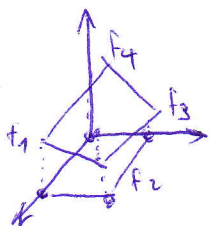
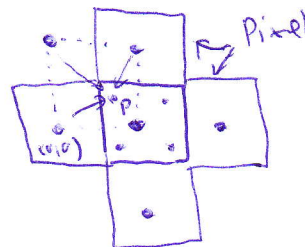
2) Sequenz von Bildern (z. B. Film)



Hier muss man zwischen mehreren Bildern Gemeinsamkeiten finden usw. Ist schwer.

3) Interpolation

- Bilinear
- Bikubisch
- Bages-Verfahren



Bei Bilinear sucht man die beste Ebene für f_1, f_2, f_3, f_4 und berechne Helligkeit von p

$$\frac{1}{4} f_1 + \frac{3}{4} f_2 = a$$

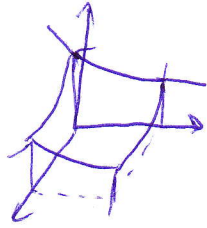
$$\frac{1}{4} a + \frac{3}{4} b =$$

$$\frac{1}{4} f_3 + \frac{3}{4} f_4 = b$$

$$\frac{1}{16} f_1 + \frac{9}{16} f_2 + \frac{3}{16} f_3 + \frac{9}{16} f_4$$

Bikubisch

Wir nehmen hier keine Ebene, sondern Polynome.



Wir brauchen die Ableitungen der 4 Punkte um zu wissen, in welche Richtung die Kurven gehen.

Wir brauchen Ableitungen in x-Richtung, y-Richtung und Diagonal. Wir brauchen also 16 Parameter.

$$f(x,y) = a_{00} + a_{01}x + a_{02}x^2 + a_{03}x^3 + a_{10} + a_{11}y + a_{12}y^2 + a_{13}y^3 + a_{20}xy + a_{21}xy^2 + a_{22}xy^2 + a_{23}xy^3$$

$$\frac{\partial f}{\partial x} = 0 \quad 1 \quad 2x \quad 3x^2 \quad 0 \quad 0 \quad 0 \quad 0 \quad 0 \quad y \quad 2xy^2 \quad 3x^2y^3$$

$$\frac{\partial f}{\partial y} = 0 \quad 0 \quad 0 \quad 0 \quad 0 \quad 1 \quad 2y \quad 3y^2 \quad 0 \quad x \quad x^2y \quad x^3y^2$$

$$\frac{\partial f}{\partial x} = 0 \quad 1 \quad 2x \quad 3x^2$$

Polynommatrix $\vec{F} \vec{a} = f$
 Parameter \vec{a}
 Angaben aus dem Bild f

Approximation $\frac{\partial f}{\partial x} = \frac{f(x+\Delta x) - f(x)}{\Delta x}$

$$F = \begin{bmatrix} 1 & 0 & 0 & \dots & 0 \\ 1 & 1 & 1 & 1 & 0 & 0 & \dots & 0 \\ 1 & 0 & 0 & 0 & 1 & 1 & 1 & 0 & \dots & 0 \\ \dots & \dots \\ 0 & 1 & 0 & 0 & \dots & \dots & \dots & 0 \\ 0 & 1 & 2 & 3 & 0 & \dots & \dots & 0 \\ \dots & \dots \\ 0 & 0 & 0 & 0 & 1 & 0 & \dots & 0 \\ \dots & \dots \\ 0 & 0 & 0 & 0 & 0 & 0 & 0 & 1 & 0 & \dots \end{bmatrix} \begin{pmatrix} a_{00} \\ a_{10} \\ a_{20} \\ \vdots \end{pmatrix} = \begin{pmatrix} f(0,0) \\ f(1,0) \\ f(0,1) \\ f(1,1) \\ \frac{\partial f(0,0)}{\partial x} \\ \frac{\partial f(1,0)}{\partial x} \\ \vdots \end{pmatrix}$$

Hier fehlt irgendwelche 4 Spalten... wichtig sie nächstes

$$\vec{a} = F^{-1} \vec{f}$$

Man kann seine F-Matrix auch noch um Spalten zügen einsetzen (z.B. 2. Ableitungen)

$$f(x,y) = a_{00} + a_{10}x + a_{20}x^2 + a_{30}x^3 + a_{01}y + a_{11}xy + a_{21}x^2y + a_{31}x^3y + a_{02}y^2 + a_{12}xy^2 + a_{22}x^2y^2 + a_{32}x^3y^2 + a_{03}y^3 + a_{13}xy^3 + a_{23}x^2y^3 + a_{33}x^3y^3$$

$$\frac{\partial f}{\partial x} = 0 \quad 1 \quad 2x \quad 3x^2 \quad 0 \quad y \quad 2xy \quad 3x^2y \quad 0 \quad y^2 \quad 2xy^2 \quad 3x^2y^2 \quad 0 \quad y^3 \quad 2xy^3 \quad 3x^2y^3$$

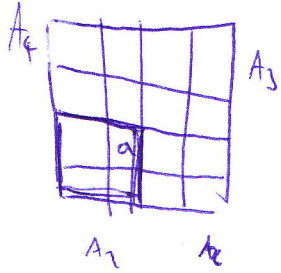
$$\frac{\partial f}{\partial y} = 0 \quad 0 \quad 0 \quad 0 \quad 1 \quad x \quad x^2 \quad x^3 \quad 2y \quad 2yx \quad 2yx^2 \quad 2yx^3 \quad 2y^2 \quad 2y^2x \quad 2y^2x^2 \quad 2y^2x^3$$

$$\frac{\partial}{\partial x} \frac{\partial f}{\partial y} = 0 \quad 0 \quad 0 \quad 0 \quad 0 \quad 1 \quad 2x \quad 3x^2 \quad 0 \quad 2y \quad 4yx \quad 6yx^2 \quad 0 \quad 2y^2 \quad 4y^2 \quad 6y^2x^2$$

Eventuell ist es dann nicht mehr invertierbar, da hilft dann

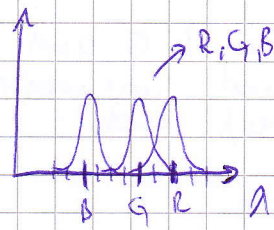
$$F^T F \vec{a} = F^T \vec{f}$$

$$\vec{a} = (F^T F)^{-1} F^T \vec{f} \quad \text{LSQ}$$



$$a = a_1 A_1 + a_2 A_2 + a_3 A_3 + a_4 A_4$$

$$(a_1, a_2, \dots) = (a_1 \ a_2 \ a_3 \ a_4) \begin{pmatrix} | \\ | \\ | \\ | \end{pmatrix}$$

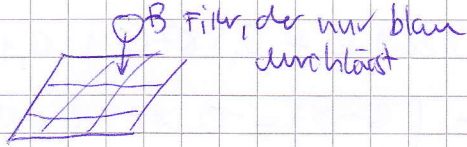


Farbe ist nicht die Reihenfolge der verschiedenen Wellenlängen, sondern die Kombination aus den Messungen für R, G und B durch die verschiedenen Rezeptoren auf der Netzhaut.

Dies wird auch auf der Kamera simuliert

R	G	R	G
G	B	G	B
R	G	R	G
G	B	G	B

Bayer-Filter



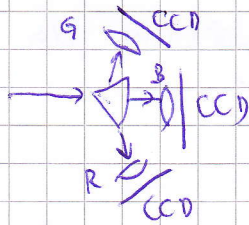
Wir müssen interpolieren:

$$R = \frac{1}{4} \sum_{i=1}^4 R_i$$

$$G = \frac{1}{4} \sum_{i=1}^4 G_i$$

$$\rightarrow B =$$

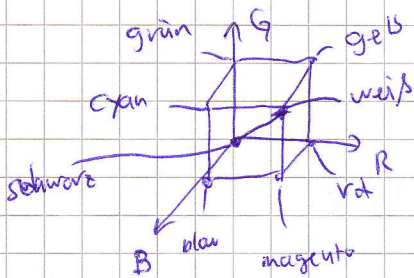
Bei CCD-Kameras legt man drei Chips, die wirklich für jeden Pixel die Farben nehmen.



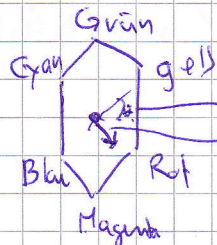
Bei Bayer bekommt man durch die Interpolation an den kanten falsche Farben..

Da Farben subjektiv sind, definiert man verschiedene Farbräume um unterschiedliche Informationen zu bekommen.

RGB-Farbraum

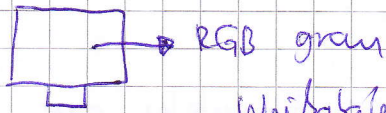


Jede Farbe kann man hier als einen Vektor definieren. Wichtig ist nicht so sehr, wie groß die Werte der einzelnen Komponenten sind, sondern die Richtung, also das Verhältnis von R, G und B.



Farbsättigung (hue)
Sättigung ist der Abstand

Zusätzlich zur Farbsättigung und Sättigung benötigt man noch die Intensität, das ist der Abstand zum Ursprung.



Weiß

Weißgleichung: Parameter für R, G und B
 $\propto R, G, B$ justieren, damit was weißer
 wirklich weiß wird.

YUV - Farbraum

Lineare Transformation vom RGB-Farbraum.

$$Y = 0,229 R + 0,587 G + 0,114 B$$

$$U = c_1 (B - Y) = -0,169 R - 0,332 G + 0,5 B + 128$$

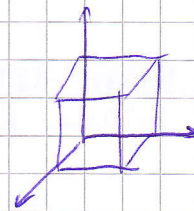
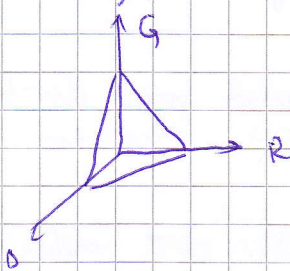
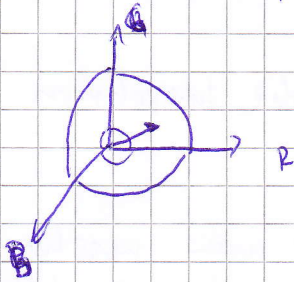
$$V = c_2 (R - Y) = 0,5 R - 0,419 G - 0,0813 B + 128$$

YUV wurde für Farbfernsehen entwickelt, damit früher die Leute, die nur schwarz-weiß empfangen konnten, auch noch was sehen, denn diese konnten einfach nur den Y-Kanal verwenden (Intensität).

G hat so eine hohe Gewichtung, da wir das am besten sehen können.

HSV - Farbraum

(HSI)



$$I_1 = \sqrt{R^2 + G^2 + B^2}$$

$$I_2 = (R + G + B) / 3$$

$$I_3 = \max(R, G, B)$$

$$I_4 = (\max(R, G, B) + \min(R, G, B)) / 2$$

$$S_1 = (\max(R, G, B) - \min(R, G, B)) / \max(R, G, B)$$

$$S_2 = \frac{\max(R, G, B) - \min(R, G, B)}{\max(R, G, B) + \min(R, G, B)}$$

$$S_3 = 1 - 3 \frac{\min(R, G, B)}{R + G + B}$$

$$S_4 = \text{Abstand}((R, G, B), (1, 1, 1)) \leftarrow \text{Abstand zur Geraden}$$

Jetzt kann man sich aus den verschiedenen Definitionen seinen eigenen Farbraum zusammenbestellen

$$\#_1 = \begin{cases} \left(0 + \frac{G-B}{\max-\min}\right) \cdot 60 & \text{wenn } R = \max \\ \left(2 + \frac{B-R}{\max-\min}\right) \cdot 60 & \text{wenn } G = \max \\ \left(4 + \frac{R-G}{\max-\min}\right) \cdot 60 & \text{wenn } B = \max \end{cases}$$

Dies ist quasi eine Interpolation von $\#_2$

$$\#_2 = \arctan\left(\frac{m_1}{m_2}\right)$$

$$\begin{aligned} \max &= \max(R, G, B) \\ \min &= \min(R, G, B) \end{aligned}$$

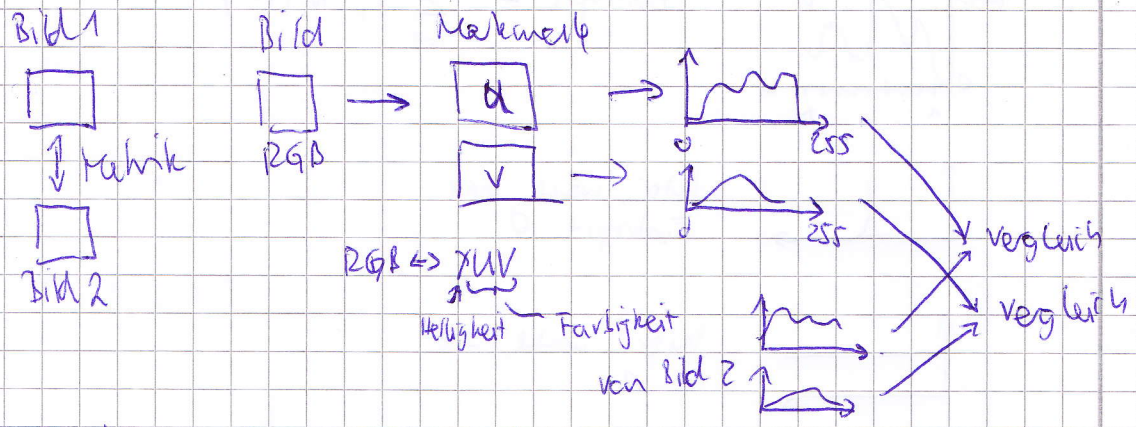
$$HSI = I_2 | S_3 | \#_2$$

$$HSI = I_1 | S_4 | \#_2$$

$$HSV = I_3 | S_1 | \#_1$$

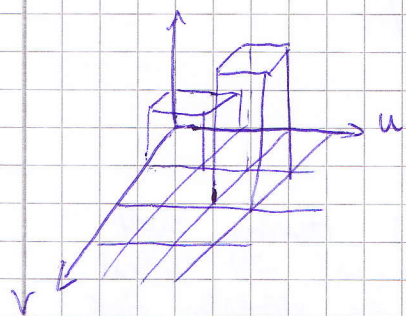
Histogramme

Vorlesung
15.6.2010



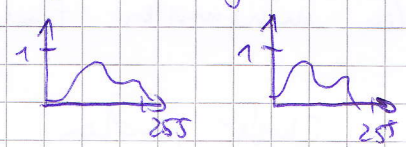
Man will einfach mehrere Bilder vergleichen können (z.B. ähnliche Szenen zu sehen) und das möglichst einfach. Das könnte man z.B. über Histogramme machen. Man nimmt an, dass ähnliche Bilder ähnliche Histogramme liefern.

2D-Histogramm

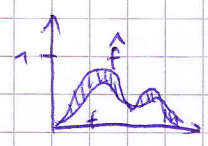


Bessere Korrelation als nur 1D.

Vergleich von Histogrammen

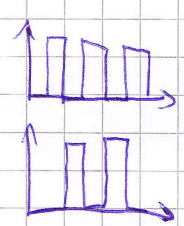


1) Metrik: Euklidischer Abstand



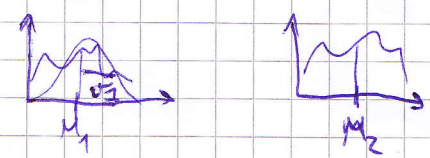
$$\text{Abstand} = \left(\sum_{i=1}^N (f(i) - g(i))^2 \right)^{\frac{1}{2}}$$

Achtung:



Diese Histogramme sind optisch sehr ähnlich, aber der euklidische Abstand ist hier sehr groß

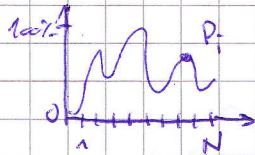
2) Mittelwert und Standardabweichung



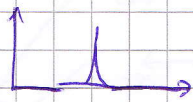
$$D(I, J) = \frac{|\mu_1 - \mu_2|}{\sigma(\mu)} + \frac{|\sigma_1 - \sigma_2|}{\sigma(\sigma)}$$

Streuung der Mittelwerte in einer Datenreihe

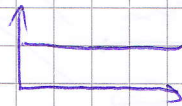
3) KL - Divergenz



$$\text{Entropie} = - \sum_{i=1}^N P_i \ln(P_i)$$



hier wäre die Entropie 0



hier wäre sie 1

$$D(P, Q) = \sum_{i=1}^N P_i \ln \left(\frac{P_i}{Q_i} \right) = \sum_{i=1}^N P_i (\ln P_i - \ln Q_i)$$

Das ist unsymmetrisch. Man kann es wie folgt symmetrisch machen:

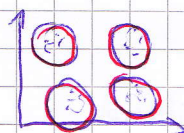
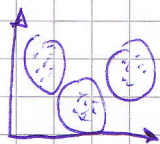
$$D'(P, Q) = \frac{1}{2} (D(P, Q) + D(Q, P))$$

4) Earth-Movers - Metrik

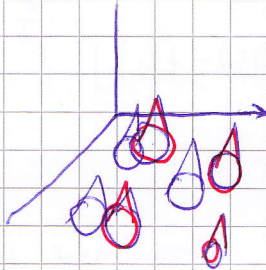


Man stellt sich das als Haufen Erde vor und überlegt sich, wie viel Arbeit er ist, die Erde so zu verschieben, dass sie das andere Histogramm entspricht.

Man sucht den minimalen Fluss.



Cluster finden



$$D(I, J) = \frac{\sum_{i,j} g_{i,j} d_{i,j}}{\sum_{i,j} g_{i,j}}$$

optimaler
 $g_{i,j}$ = Fluss von i nach j

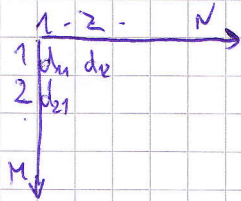
$d_{i,j}$ = Abstand zwischen i und j

Wie berechnet man nun den optimalen Fluss?

H_1 $i=1, 2, \dots, N$ Cluster mit p_1, p_2, \dots, p_N als Verteilung

H_2 $i=1, \dots, M$ Cluster mit q_1, q_2, \dots, q_M als Verteilung

d_{ij} = Abstandsmatrix



wobei $d_{ij} = d_{ji}$ ist

Wir brauchen ein paar Bedingungen:

$$g_{ij} \geq 0$$

$$\text{Min } \sum_{i,j} g_{ij} d_{ij}$$

$$\sum g_{ij} = \min(\sum p_i, \sum q_i)$$

$$\sum g_{ij} \leq \sum p_i$$

$$\sum g_{ij} \leq \sum q_i$$

Wenn die Histogramme komplett sind: $\sum p_i = 1$, $\sum q_i = 1$

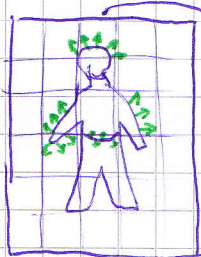
$$g_{ij} \geq 0$$

$$\sum g_{ij} = 1$$

$$\text{Min } \sum g_{ij} d_{ij}$$

Das ist ein Problem der Linearen Programmierung.
Eins ist z.B. das Simplex Verfahren

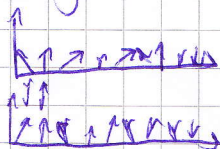
OG - Histogramm orientiert Gradienten



Summe der Gradienten

Die Gradienten bekommt man natürlich über Kompositionen

Wie vergleicht man nun wieder zwei solche Histogramme?



$$d(\vec{a}, \vec{b}) = \frac{\vec{a} \cdot \vec{b}}{\|\vec{a}\| \|\vec{b}\|}$$

$$D(F, g) = \sum_{i=1}^N \frac{a_i - b_i}{|a_i + b_i|}$$